

引用:巨红叶,王俊,吴飞飞,等.基于气津理论探讨黄芪增液汤治疗结肠慢传输型便秘作用机制[J].现代中医药,2023,43(4):91-96.

# 基于气津理论探讨黄芪增液汤治疗 结肠慢传输型便秘作用机制<sup>\*</sup>

巨红叶 王俊 吴飞飞 荆威 张荣枝 李毅忠 冯智<sup>\*\*</sup>

(安康市中医医院,陕西安康725000)

**摘要:**目的 探讨黄芪增液汤治疗结肠慢传输型便秘(slow transit constation,STC)的作用机制。方法 40只SD大鼠,分为空白组、模型组、中药组和西药组,除空白组,其余3组均建立便秘模型,模型组不用药物干预,中药组予以黄芪增液汤、西药组予以枸橼酸莫沙必利,连续治疗7d后,通过腹主动脉采集各组大鼠血液,同时分离约8~10mm的近端结肠备检。通过ELISA、RT-qPCR、WesternBlot等实验方法,提取P物质(Substance P,SP)、血管活性肠肽(VIP)、胃动素(MLT)、胃泌素(GAS)、蛋白激酶A(PKA)、水通道蛋白9(AQP9)等相关指标数据进行分析。结果 模型组首次排便时间延长,造模第7d,模型组粪便含水率较空白组低,差异具有统计学意义( $P < 0.01$ ),说明造模成功。血清中的GAS、MTL和SP的含量,在模型组出现不同程度的下降,与空白组比较差异非常显著,说明便秘与非便秘大鼠体内存在相关因子的差异性。通过药物的干预,中药组与西药组均有不同程度上调,中药组与模型组、西药组比较具有显著性差异( $P < 0.01$ 及 $P < 0.05$ )。说明药物干预有效,且中药组较西药组更明显。RT-qPCR、WB实验结果表明,模型组大鼠结肠组织中PKA- $\alpha$ 、PKA- $\beta$ 、AQP9mRNA、PKA、VIP、AQP9含量较空白组显著降低( $P < 0.01$ )。中药组、西药组分别与模型组比较,显示出不同程度的治疗效果,且有显著性差异( $P < 0.01$ 和 $P < 0.05$ ),说明中药的治疗效果比西药更明显。结论 黄芪增液汤可以通过上调SP、VIP、MLT、GAS等胃肠动力因子实现其益气助运作用,上调PKA、AQP9等因子实现其滋阴增液作用。

**关键词:**黄芪增液汤;慢传输型便秘;胃肠动力;结肠组织

中图分类号:R256.35 文献标识码:A

文章编号:1672-0571(2023)04-0091-06

DOI:10.13424/j.cnki.mtcm.2023.04.018

慢传输型便秘(slow transit constation,STC)是由于结肠动力障碍,从而引发结肠传输时间延长、进食后结肠运动推进及收缩运动减少,属于功能性便秘<sup>[1]</sup>。其主要临床表现为大便次数减少、便质干硬等症状<sup>[2]</sup>。目前西医在临床多采用容积性泻药、刺激性泻药、渗透性泻药、润滑型泻药、微生态制剂和促胃肠动力药等药物治疗<sup>[3]</sup>。但有报道显示,这些西药制剂分别会导致不同程度的副作用,例如恶心、腹泻、降低肠壁敏感性、引发人体对脂溶性维生素的吸收障碍、造成肠道菌群紊乱,甚至会引起结肠黑便病及造成肠壁神经元损伤

等<sup>[4-5]</sup>。因此,找寻疗效显著、副作用小的中药组方已经成为现在研究的热点。黄芪增液汤是陕西省名中医李毅忠治疗便秘的经验方,具有健脾益气、滋阴通便功效。我们长期临床经验总结发现<sup>[6-7]</sup>结肠慢传输型便秘气阴两虚证型最为多见,运用黄芪增液汤加减治疗疗效确切,在我们前期研究<sup>[8]</sup>中已经证实黄芪增液汤可上调结肠黏膜AQP9表达,增加肠道水分的分泌。为进一步研究黄芪增液汤治疗慢传输型便秘的分子生物学机制,具体研究如下。

\* 基金项目:陕西省中医药管理局项目(2019-GJ-JC017)

\*\* 通讯作者:冯智,主治医师。E-mail:fengzhiyisheng@126.com

## 1 仪器与材料

**1.1 仪器** H-2050R 超速冷冻离心机(湖南湘仪仪器有限公司)、Proline 微量移液器(美国 BIOHIT 公司);ELX-800 酶标仪(美国 BIOHIT 公司);电热恒温培养箱(天津泰斯特生物有限公司);DYY-7C 电泳仪、DYCZ-40D 转移槽、DYCZ-24DN 双垂直蛋白电泳仪、WD-9413B 凝胶成像系统(北京六一仪器有限公司)。

**1.2 试药** 黄芪增液汤(炙黄芪 15 g,生白术 60 g,枳实 20 g,厚朴 20 g,玄参 30 g,生地 20 g,麦冬 15 g,火麻仁 20 g,柏子仁 20 g)由安康市中医医院制剂室提供,均购于陕西兴盛德药品有限责任公司,由陕西省食品药品鉴定所谢志明教授鉴定合格。常法煎制、滤渣、浓缩药液,用超纯水调配成每毫升含生药 2.3 g 的药液。大鼠 Gastrin ELISA 检测试剂盒(批号:CEB224Ra)、大鼠 Motilin ELISA 检测试剂盒(批号:CEA575Ra)、大鼠 Substance-P ELISA(批号:CEA393Ra)检测试剂盒均购于武汉优尔生生命科技有限责任公司;全蛋白提取试剂盒(批号:WLA019)、BCA 蛋白浓度测定试剂盒(WLA004)、羊抗兔 IgG-HRP(WLA023)、内参抗体  $\beta$ -actin(WLA01845)均购于沈阳万类生物有限公司;VIP 抗体(批号:A1804)、AQP9(批号:A8540)均购于 Abclonal 生物科技有限公司。

**1.3 实验动物** SPF 级 SD 大鼠 40 只,雄性,体重(160-230)g,由辽宁常胜生物有限公司提供,许可证号 SCXK2015-0001。本实验获得陕西中医药大学伦理委员会批准。

## 2 方法

**2.1 动物分组、造模及给药** SD 大鼠雄性 40 只,体重 180 ~220 g,分为 4 组(空白组、模型组、中药组、西药组),每组 10 只。造模方法:40 只大鼠适应性饲养一周,温度(25  $\pm$  5)  $^{\circ}$ C,湿度(55  $\pm$  5)%。在造模前一天禁食禁水,采用灌胃法给药,空白组给予超纯水(10 mL  $\cdot$  d<sup>-1</sup>),其余三组每天给予洛哌丁胺(1.5 mg  $\cdot$  kg<sup>-1</sup>),造模 7 d,建立慢传输便秘模型;第 8 d 分别给予中药组 4 mL  $\cdot$  d<sup>-1</sup> 的黄芪增液汤,西药组每天 50 mg  $\cdot$  kg<sup>-1</sup> 的枸橼酸莫沙必

利治疗 7 d。此后,24 h,通过腹主动脉采集血液,同时,立即分离约 8 ~10 mm 的近端结肠。血清及组织样品保存在 -80  $^{\circ}$ C 超低温冷冻冰箱以备进一步实验,大鼠尸体交于陕西中医药大学科研实验动物中心进行无害化处理。

**2.2 生化检测** 采用超低温离心机分离血清,按照 ELISA 试剂盒说明制作标本,并置于酶标仪下分别测定血清中所含 Gas、SP、Motilin 蛋白含量。

**2.3 WesternBlot 实验** 提取各组肠组织总蛋白,BCA 试剂盒测定总蛋白浓度,每孔加入 20  $\mu$ L(含 40  $\mu$ g 蛋白)上样液,最后加入 5  $\mu$ L 蛋白 Marker,恒压行 SDS-PAGE 电泳,经 PVDF 膜转印,TBST 封闭,加入一抗(VIP、AQP9 与封闭液配制比例分别为 1:500、1:1000)4  $^{\circ}$ C 过夜,加入二抗(羊抗兔 IgG-HRP2 份配制比例 1:5000),37 $^{\circ}$ C 孵育 45 min,加 ECL 发光液,在暗室中进行曝光,最后将胶片进行扫描,用凝胶图象处理系统(Gel-Pro-Analyzer 软件)分析目标条带的光密度值。

**2.4 统计学方法** 采用 SPSS 21.0 统计软件处理实验数据,各组间比较采用单因素 A-nova 进行方差分析,表示与空白组比较 \* $P < 0.05$  为差异具有显著性意义,表示 \*\* $P < 0.01$  为差异具有极显著意义。

## 3 结果

**3.1 粪便含水率结果测定** 图 1、表 1 结果表明,模型组的含水率随天数的增加而减少,而空白组则呈现稳定的趋势,说明成功建立了便秘大鼠模型,且差异具有极显著意义  $P < 0.01$ 。

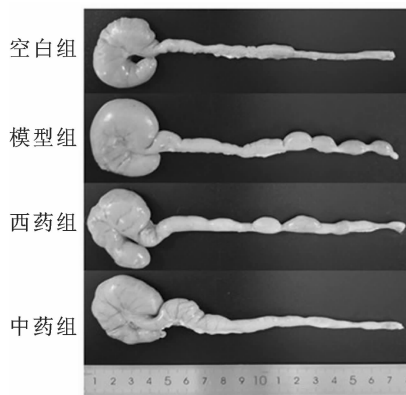


图 1 各组大鼠肠组织表现

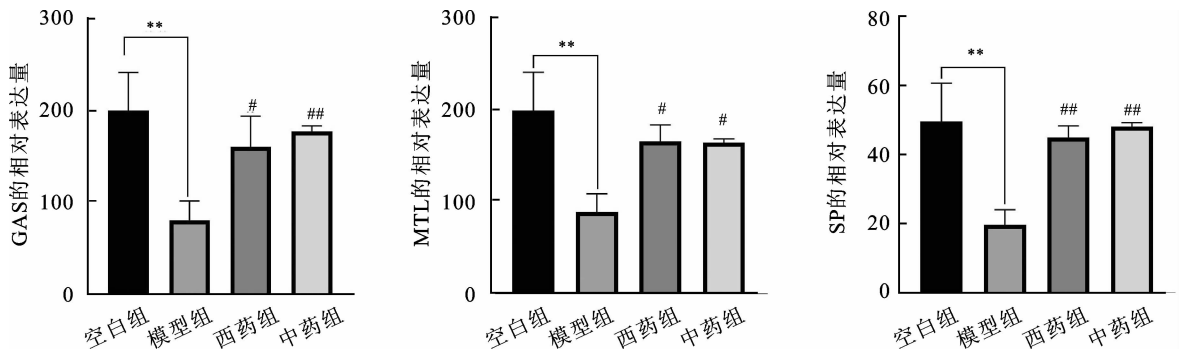
表1 粪便含水率结果测定( $\bar{x} \pm s$ )

组别	n	造模前含水率(%)	第一次粪便排出时间(min)	造模7 d后含水率(%)
空白组	10	56.82 ± 1.2	243.5 ± 25.4	59.38 ± 4.09
模型组	10	57.51 ± 1.3	421.5 ± 23.9**	30.04 ± 4.03**

注:\*\*表示差异极显著( $P < 0.01$ )

**3.2 黄芪增液汤对大鼠肠组织中 GAS、MTL 和 SP 蛋白含量的比较** 通过 ELISA 检测血清中的 GAS、MTL 和 SP 的含量,结果如图 2 显示,模型组出现不同程度的下降趋势,与空白组相比差异非常显著( $P < 0.01$ ),说明造模成功。中药组、西药

组分别与模型组比较均具有显著性差异( $P < 0.01$ ),说明无论中药还是西药均能提高 GAS、MTL 和 SP 的表达量,中药组与西药组比较无统计学差异( $P > 0.05$ ),说明中药和西药均无治疗优势。

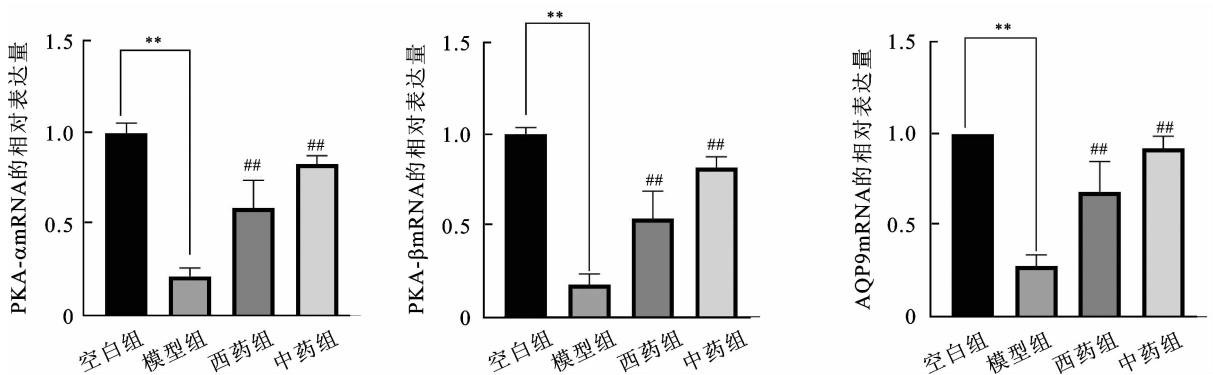


注:\*\*表示与空白组比较差异极显著( $P < 0.01$ );#表示与模型组比较差异显著( $P < 0.05$ );##表示与模型组比较差异极显著( $P < 0.01$ )

图2 各组大鼠 GAS、MTL 和 SP 含量的比较

**3.3 黄芪增液汤对大鼠肠组织中 PKA- $\alpha$ 、PKA- $\beta$  和 AQP9mRNA 含量的比较** 如图 3 所示,模型组便秘大鼠结肠组织中 PKA- $\alpha$ 、PKA- $\beta$  和 AQP9mRNA 含量较空白组显著降低( $P < 0.01$ ),说明便秘大鼠确实存在 PKA- $\alpha$ 、PKA- $\beta$  和 AQP9mRNA 的低表达。中药组、西药组分别与模

型组相比,均有显著性差异( $P < 0.01$ ),说明中药、西药均具体现出治疗效果,中药组与西药组比较,差异具有显著统计学意义( $P < 0.01$ ),说明中药在干预 PKA- $\alpha$ 、PKA- $\beta$  和 AQP9mRNA 等指标上具有优势。



注:\*\*表示与空白组比较差异极显著( $P < 0.01$ );##表示与模型组比较差异极显著( $P < 0.01$ )

图3 各组大鼠肠组织中 PKA- $\alpha$ 、PKA- $\beta$  和 AQP9mRNA 表达水平的比较

**3.4 黄芪增液汤对大鼠肠组织中 VIP 和 AQP9 蛋白表达水平的比较** 如图 4 中 WB 实验结果表明,模型组与空白组相比,AQP9 和 VIP 蛋白表达下降

( $P < 0.01$ ),说明便秘模型大鼠存在 AQP9 和 VIP 的低表达。中药组、西药组分别与模型组相比,蛋白表达呈上升趋势,且具有极显著性差异( $P <$

0.01),说明中药和西药均能上调VIP和AQP9的表达。中药组与西药组比较,差异具有显著统计

学意义( $P < 0.01$ ),说明中药在提高AQP9和VIP的含量上,要优于西药。

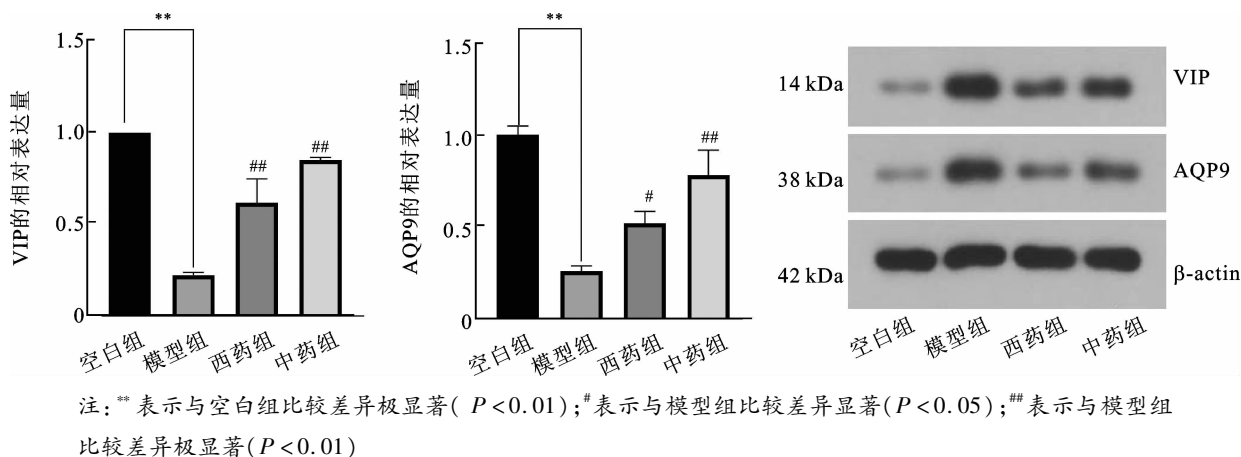


图4 各组大鼠结肠组织VIP和AQP9蛋白表达水平比较

#### 4 讨论

中药复方是由多味中药组成的成方制剂,能够通过多途径、多环节、多靶点发挥不同的体内药效学机制,从而达到治愈疾病的目的<sup>[9]</sup>。《兰室秘藏·大便结燥》曰:“夫肾主五液,津液润则大便如常。”中医气和津液的理论指出,气具有推动作用,津液有滋润作用,气和津足则大便质软、便次正常,如气津不足,则大便次数减少,大便干结<sup>[10]</sup>。然慢传输型便秘最主要的临床症状即是便次减少和大便干燥,黄芪增液汤是陕西省名中医李毅忠治疗便秘的经验方,以黄芪、大剂量生白术健脾益气为君药,玄参、生地、麦冬滋阴增液为臣药,厚朴、枳实下气导滞为佐,火麻仁、柏子仁润肠通便为使,从而能“增水行舟”,达到健脾益气、滋阴通便的功效。从本研究结果来看,模型组首次排便时间延长,造模第7d,模型组粪便含水率较空白组底,差异具有统计学意义( $P < 0.01$ ),说明造模成功。生化检测血清中的GAS、MTL和SP的含量,在造模大鼠中出现不同程度的下降,与空白组比较差异非常显著,说明便秘与非便秘大鼠体内存在相关因子的差异性。通过药物的干预,中药组与西药组均有不同程度上调,中药组与模型组、西药组比较具有显著性差异( $P < 0.01$ 及 $P < 0.05$ )。说明药物干预有效,且中药组较西药组更明显。RT-qPCR、WB实验结果表明,模型组大鼠结肠组织中PKA- $\alpha$ 、PKA- $\beta$ 、AQP9mRNA、PKA、VIP、AQP9含量

较空白组显著降低( $P < 0.01$ )。中药组、西药组分别与模型组比较,显示出不同程度的治疗效果,且有显著性差异( $P < 0.01$ 和 $P < 0.05$ ),说明中药的治疗效果比西药更明显。

此外,本研究结果中发现,SP、VIP、PKA、AQP9等指标的增加呈正相关,可能是通过PKA来作为中间递质实现的,换言之,可能存在SP/VIP-PKA-AQPs信号通路,此通路可调控肠道水液,从而促肠道水液分泌和促胃肠动力,这与周永学等<sup>[10]</sup>前期研究成果表现一致。有研究已发现c-AMP-PKA途径是VIP发挥生物效应的重要中间环节之一<sup>[11]</sup>。P物质(Substance P, SP)作为兴奋性胃肠神经递质的一种,是体内最强的消化道平滑肌兴奋物质之一。研究<sup>[12-13]</sup>认为SP与便秘的发生有着密切关联,SP大量分布于机体中枢神经系统和肠肌间神经丛中,主要功能是刺激和保持肠的蠕虫性,增强结肠收缩和运动,促进胃肠运动。血管活性肠肽(VIP)广泛分布于胃肠道及神经系统内,参与胃肠道传输功能的调节<sup>[14]</sup>。胃动素(MLT)生理作用是促进肠运动,提高胃肠道的收缩力和张力<sup>[15]</sup>。胃泌素(GAS)又称促胃液素,具有与胃动素具有类似的促进胃排空作用,也可作用于平滑肌细胞的特异性受体,激发胃窦平滑肌的收缩反应。胃泌素与胃动素均能促进胃肠平滑肌收缩促进胃肠动力,二者分泌紊乱可能导致胃动力障碍<sup>[16-17]</sup>。VIP、SP、胃动素和胃泌素与胃肠

动力密切相关<sup>[18-19]</sup>。cAMP信号通路又称PKA系统(protein kinase A system, PKA),是环核苷酸系统的一种,以cAMP为第二信使的信号通路的主要效应是通过活化cAMP依赖的PKA使下游靶蛋白磷酸化,从而影响细胞代谢和细胞行为<sup>[20-21]</sup>。AQP9大都含有蛋白激酶A(Protein kinase A, PKA)磷酸化的同源序列,这些水通道蛋白受到磷酸化作用的直接调节<sup>[22]</sup>。AQP9磷酸化是环磷酸腺苷(cAMP)依赖性的,即在某些因素作用下,腺苷酸环化酶(AC)被激活,使细胞内cAMP水平上升,进而激活cAMP依赖性蛋白激酶(PKA),PKA信号传导系统被活化后,催化AQP上的丝氨酸磷酸化,从而使AQP高表达,增加膜对水的通透性<sup>[23-24]</sup>。

在前期的动物实验研究中,已经证实黄芪增液汤治疗STC的作用机制与结肠黏膜AQP9表达的上调,增加肠道水分分泌有关,但不足以证实黄芪增液汤益气增液机制,本研究通过上述实验方法检测发现,黄芪增液汤可上调便秘大鼠血清中SP、VIP、MLT、GAS等参与胃肠动力的因子,证实黄芪增液汤有极强的促胃肠动力作用,中国医学认为推动作用为气的作用之一,慢传输型便秘最主要的临床症状就是结肠传输功能缓慢,大便次数减少,因此,中医在治疗上,会应用大量补气的方法和中药,这也就揭示了黄芪增液汤具有促胃肠动力的作用机制。另外,慢传输型便秘还有一个主要的临床症状就是大便干燥,因为肠内容物在肠道存留时间过长,其水分被肠道大量吸收,导致大便干燥<sup>[25]</sup>,因此,中医在治疗便秘过程中会利用滋阴增液的方法,通过本研究也证实黄芪增液汤可通过上调PKA、AQP9等因子,增加肠道水分,来实现其增液行舟功能。

综上所述,黄芪增液汤的作用机制可能是通过上调SP、VIP、MLT、GAS等胃肠动力因子实现其益气助运作用,上调PKA、AQP9等因子实现其滋阴增液作用,总而言之,黄芪增液汤具有促胃肠动力和肠道水液分泌双重作用,故而,黄芪增液汤是治疗慢传输型便秘的可靠、有效方剂。后期我们将进一步研究黄芪增液汤对SP/VIP-PKA-AQP9信号通路的作用机制,为证实其体内药效学机制奠

定理论依据。

#### 参考文献

- [1] 钱梦焯,戴高中. 中药治疗慢传输型便秘临床及实验研究进展[J]. 实用中医药杂志, 2021, 37(3): 518-520.
- [2] 易顺,杜丽娟. 慢传输型便秘与肠道微生态的关系及治疗的研究进展[J]. 医学研究生学报, 2020, 33(12): 1306-1309.
- [3] 朱国栋,朱安龙. 慢传输型便秘病因机制研究进展[J]. 医学综述, 2020, 26(23): 4623-4628.
- [4] 李沛东,薛源,闫在华,等. 慢传输型便秘分子机制的研究进展[J]. 现代医学与健康研究电子杂志, 2020, 4(20): 119-122.
- [5] 陈容,周冷. 结肠慢传输型便秘的研究进展[J]. 海南医学, 2020, 31(18): 2409-2413.
- [6] 冯智,胡忠园,王俊,等. 李毅忠运用黄芪增液汤治疗结肠慢传输型便秘经验[J]. 河南中医, 2019, 39(1): 44-47.
- [7] 冯智,李毅忠,王俊. 八髎穴埋线联合黄芪增液汤治疗结肠慢传输型便秘37例[J]. 现代中医药, 2020, 40(2): 57-61.
- [8] 冯智,陈强,李毅忠,等. 黄芪增液汤对便秘大鼠结肠AQP9的表达影响[J]. 中医临床研究, 2020, 12(6): 147-149.
- [9] 黄业保,刘春强. 中医药治疗慢传输型便秘的实验研究进展[J]. 中华中医药学刊, 2020, 38(1): 87-89.
- [10] 窦亚飞,闫永彬. 小儿便秘辨治概要[J]. 现代中医药, 2022, 42(1): 73-77.
- [11] 周永学,文颖娟,闫曙光. 硝菴通结方治疗功能性便秘的机制探讨[J]. 现代中医药, 2013, 33(5): 12-15.
- [12] El Zein N, Badran B, Sariban E. VIP differentially activates beta2 integrins, CR1, and matrix metalloproteinase-9 in human monocytes through cAMP/PKA, EPAC, and PI-3K signaling pathways via VIP receptor type 1 and FPRL1 [J]. Journal of Leukocyte Biology, 2008, 83(4): 972-981.
- [13] 李明,王建民,杨玲玲,等. 慢传输型便秘中医证型与血管活性肠肽和P物质关系[J]. 安徽中医药大学学报, 2014, 33(5): 21-23.
- [14] 胡晔东,林琳,张红杰,等. Cajal间质细胞与一氧化氮在吗啡诱导慢传输运动小鼠结肠中的改变[J]. 中国临床康复, 2005, 9(44): 134-136, 193.

- [15] 潘慧,姚宏健,常为伟,等. 通便丸治疗胃肠实热型便秘的疗效及对血清 SP、VIP 和 NO 水平的影响[J]. 江西中医药,2021,52(10):41-43.
- [16] 王郁金,周永学,张红,等. 功能性便秘大鼠在体结肠肌电及血清中胃动素、胃泌素的变化[J]. 陕西中医,2014,35(9):1255-1256.
- [17] Konturek JW, Thor P, Maczka M, et al. Role of cholecystokinin in the control of gastric emptying and secretory response to a fatty meal in normal subjects and duodenal ulcer patients [J]. *Scandinavian Journal of Gastroenterology*, 1994, 29(7):583-590.
- [18] Xu L, Gao S, Guo F, et al. Effect of motilin on gastric distension sensitive neurons in arcuate nucleus and gastric motility in rat [J]. *Neurogastroenterology & Motility*, 2011, 23(3):265-e121.
- [19] Amir AA. Etiological factors of constipation in the elderly, with emphasis on functional causes [J]. *Eastern Mediterranean Health Journal*, 2011, 17(8):708-711.
- [20] Lu ZZ, Yin XJ, Teng WJ, et al. Comparative effect of electroacupuncture and moxibustion on the expression of substance P and vasoactive intestinal peptide in patients with irritable bowel syndrome [J]. *Journal of Traditional Chinese Medicine = Chung i Tsa Chih Ying Wen Pan*, 2015, 35(4):402-410.
- [21] 王璐,隋楠. 基于大肠主津理论助阳通便膏对便秘模型小鼠结肠组织 VIP-CAMP-PKA-AQP3 通路的影响 [J]. *中华中医药学刊*, 2022, 40(5):147-151, 277.
- [22] 周永学,王郁金,闫曙光,等. 硝菴通结方对功能性便秘大鼠结肠组织中 VIP-cAMP-PKA-AQP3 信号通路的影响 [J]. *中国实验方剂学杂志*, 2016, 22(24):99-104.
- [23] 杜真臻. 基于蛋白激酶 A(PKA) 传导通路探讨通便汤治疗慢传输型便秘(STC)的机制研究 [D]. 南京:南京中医药大学, 2018.
- [24] 智会. 水通道蛋白 3、4、8 在大鼠慢传输便秘模型结肠黏膜中的表达 [D]. 郑州:郑州大学, 2011.
- [25] 马丙旭. 温阳调中汤治疗慢传输便秘(阳虚寒凝证)临床疗效观察 [D]. 郑州:河南中医药大学, 2021.

(修回日期:2023-05-07 编辑:崔春利)